

ИДЕНТИФИКАЦИЯ МНОГОЗАРЯДНЫХ ОБЪЕМНЫХ УРОВНЕЙ ПРИ РЕЛАКСАЦИОННОЙ СПЕКТРОСКОПИИ ГРАНИЦЫ РАЗДЕЛА ПОЛУПРОВОДНИК—ДИЭЛЕКТРИК

С. Г. Дмитриев, А. Г. Ждан, Ю. В. Маркин

Институт радиотехники и электроники Российской академии наук, 141120, Фрязино, Россия
(Получена 5 ноября 1992 г. Принята к печати 13 ноября 1992 г.)

Для популярных методов релаксационной спектроскопии границ раздела полупроводник—диэлектрик — метода термостимулированного разряда МДП конденсатора (ТРК) и методов изотермической релаксации тока (ИРТ) и емкости — рассмотрены особенности релаксационных сигналов, обусловленные опустошением многозарядных локализованных электронных состояний.

На примере глубокого двухзарядного донорного уровня показано, что в зависимости от соотношения времен жизни носителей заряда на двухкратно (τ) и однократно (τ^*) заполненных центрах можно выделить три различных случая: $\tau \ll \tau^*$, $\tau \sim \tau^*$, $\tau \gg \tau^*$. В первом из них ИРТ носит экспоненциальный характер и определяется двумя постоянными времени: τ (начальная стадия) и τ^* (конечная стадия релаксации); ток ТРК $j(T)$ описывает кривую с двумя максимумами. Во втором — $\tau \sim \tau^*$ ИРТ неэкспоненциальна, а $j(T)$ имеет вид изолированного пика с аномальным соотношением полуширин. При $\tau \gg \tau^*$ кривые ИРТ (или высокочастотной емкости) содержат на начальной стадии релаксации экстремумы, а на конечной — экспоненциально спадающую ветвь с постоянной времени τ ; при этом форма кривой ТРК $j(T)$ отвечает случаю разрядки моноэнергетического локального уровня. Наблюдение кривых изотермической релаксации с экстремумами — надежный критерий присутствия в исследуемых структурах двухзарядных глубоких центров различной природы, включая центры с отрицательной корреляционной энергией и отталкивающим барьером. В большинстве рассмотренных случаев на основе развитого аналитического аппарата могут быть определены параметры двухзарядных глубоких уровней.

Релаксационная спектроскопия локализованных электронных состояний — эффективный инструмент физических исследований и технологического контроля широкого класса полупроводниковых и диэлектрических материалов и различных устройств на их основе. При теоретическом описании релаксационных сигналов, обусловленных опустошением дискретных локализованных электронных состояний, как правило, исходят их представлений об однозарядном глубоком уровне (ГУ) [1–7]. Между тем, например, в таком полупроводниковом материале, как кремний, все известные электрически активные центры многозарядные [8, 9], включая термодоноры [10], донорные и акцепторные примеси [11]. В этой связи представляет интерес выяснить на примере популярных методов релаксационной спектроскопии границ раздела полупроводник—диэлектрик — метода термостимулированного разряда МДП конденсатора [1, 2] и методов изотермической релаксации тока [12] или емкости (нестационарная спектроскопия глубоких уровней — DLTS [6, 7]) — особенности релаксационных сигналов, обусловленные опустошением многозарядных локализованных электронных состояний.

Рассмотрим МДП структуру, не содержащую пограничных состояний, для определенности на основе электронного полупроводника, в объеме которого присутствует помимо легирующей примеси глубокий двухзарядный уровень с концентрацией N_c . Пусть в состоянии предельного заполнения уровень нейтрален; эмиссия первого электрона характеризуется энергией активации E_1 и сечением

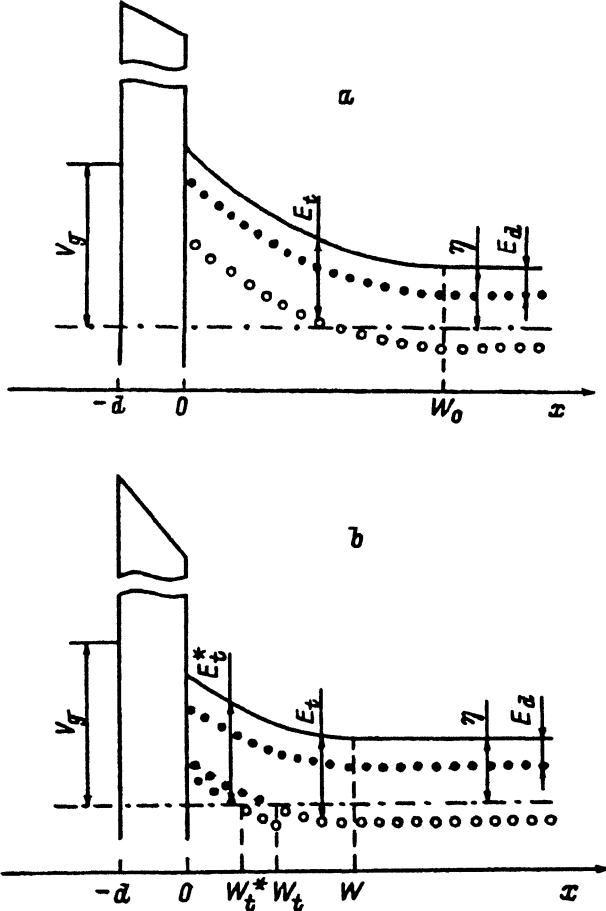


Рис. 1. Зонная диаграмма МДП структуры с двухзарядным глубоким уровнем в состоянии неравновесного обеднения в начале (а) и в конце (б) релаксации при неизменной величине V_g ($W < W_0$, W_0 — начальная ширина ОПЗ полупроводника). W_t , W_t^* — координаты пересечения уровней энергии E_t и E_t^* с уровнем Ферми η соответственно. E_d — энергия ионизации легирующей примеси.

захвата σ_t , а второго — E_t^* и σ_t^* соответственно. Согласно стандартному формализму методов релаксационной спектроскопии [1, 2, 4, 5], при достаточно низкой температуре $T = T_0$ поверхность полупроводника обогащается основными носителями заряда, чем обеспечивается переход уровня в нейтральное состояние. Далее, изменением потенциала затвора V_g структура переводится в режим неравновесного обеднения. Очевидно, что в стартовый момент времени $t = t_0$ уровень остается в нейтральном состоянии. Зонная диаграмма, приведенная на рис. 1, поясняет эту ситуацию.

Проанализируем вначале кинетику изотермической релаксации тока j , вытекающего из МДП структуры вследствие двукратной ионизации ГУ. Будем считать, что начальный неравновесный изгиб зон в полупроводнике достаточно велик, т. е.

$$\frac{W - W_t}{W} \ll 1, \quad \frac{W - W_t^*}{W} \ll 1$$

(1)

W — ширина области пространственного заряда (ОПЗ) полупроводника, W_i и W_i^* определены на рис. 1), и что концентрация легирующей примеси $N_d \gg N_i$. Будем также полагать, с целью исключения из рассмотрения эффектов генерации неосновных носителей заряда, что уровни энергии E_i и E_i^* находятся в верхней половине запрещенной зоны полупроводника [13]. При неизменной величине напряжения начального обеднения V_g ток j есть алгебраическая сумма тока генерации электронов с ГУ (в силу малости времени пролета через ОПЗ эффектами перезахвата можно пренебрегать [2]) и тока смещения, обусловленного изменением емкости ОПЗ полупроводника [14]. По определению $j = -dQ/dt$, где $Q = (qN_d + qn_i^+ + 2qn_i^{++})W$ — полный заряд в ОПЗ полупроводника, приходящийся на единицу поверхности (n_i^+ , n_i^{++} — концентрации одно- и двукратно ионизированных уровней, q — элементарный заряд; множитель 2 в третьем слагаемом учитывает двухзарядность ГУ), т. е.

$$j = -q \left(\frac{dn_i^+}{dt} + 2 \frac{dn_i^{++}}{dt} \right) W - q (N_d + n_i^+ + 2n_i^{++}) \frac{dW}{dt}. \quad (2)$$

Первое слагаемое — генерационный ток, а второе — ток смещения.

С другой стороны, из условия непрерывности полного тока следует

$$j = \frac{\kappa_1}{4\pi d} \frac{d}{dt} (V_g - \varphi_s) = - \frac{\kappa_i}{4\pi d} \frac{d\varphi_s}{dt}, \quad (3)$$

где κ_i , d — диэлектрическая проницаемость и толщина диэлектрика соответственно, φ_s — поверхностный потенциал полупроводника. Учитывая, что в приближении шоттки-слоев обеднения $\varphi_s = - \frac{2\pi q}{\kappa_s} (N_d + n_i^+ + 2n_i^{++}) W^2$, а $N_i = n_i^0 + n_i^+ + n_i^{++}$ (κ_s — диэлектрическая проницаемость полупроводника, n_i^0 — концентрация нейтральных ГУ), из (2) и (3) получаем

$$j = q \frac{2 \frac{dn_i^0}{dt} + \frac{dn_i^+}{dt}}{1 + \frac{\kappa_s d}{\kappa_i W}} \cdot \frac{W}{2}. \quad (4)$$

В принятом приближении больших изгибов зон естественно считать $W \gg d$ ($\frac{\kappa_s d}{\kappa_i W} \ll 1$), а

$$j = q \left(2 \frac{dn_i^0}{dt} + \frac{dn_i^+}{dt} \right) \frac{W}{2}. \quad (5)$$

При $V_g < 0$ из уравнения электронейтральности МДП структуры следует

$$W = \frac{\kappa_s d}{\kappa_i} \left[\sqrt{1 - \left(\frac{\kappa_i}{d} \right)^2 \frac{V_g}{2\pi q (N_d + n_i^+ + 2n_i^{++})}} - 1 \right]. \quad (6)$$

¹ Легко убедиться, полагая $dW/dt, dW_i/dt \rightarrow 0$, что выражение (5) при замене $W/2 \rightarrow W$ описывает также изотермическую релаксацию тока в широко используемом на практике режиме стабилизации высокочастотной емкости МДП структуры $CHF = \text{const}$ [2, 7].

При $N_d \gg N_t$, $N_d + n_i^+ + 2n_i^{++} \approx N_d$, так что при постоянстве V_g ($V_g = \text{const}$) ширину ОПЗ полупроводника W , фигурирующую в выражении (5), в процессе релаксации тока с хорошей точностью можно считать постоянной.

Для нахождения зависимости $j(t)$ в явном виде необходимо решить систему уравнений кинетики опустошения ГУ. Без учета перезавхвата она имеет вид [8]

$$\begin{cases} \frac{dn_i^0}{dt} = -\frac{n_i^0}{\tau}, \\ \frac{dn_i^+}{dt} = -\frac{n_i^+}{\tau^*} - \frac{dn_i^0}{dt}, \end{cases} \quad (7)$$

где $1/\tau = N_c \nu_T \sigma_t \exp\left(-\frac{E_t}{kT}\right)$, $1/\tau^* = N_c \nu_T \sigma_t^* \exp\left(-\frac{E_t^*}{kT}\right)$, N_c — плотность состояний в зоне проводимости полупроводника, V_T — средняя тепловая скорость электронов, k — постоянная Больцмана. Решая эту систему и подставляя результат в (5), получаем

$$j(t) = \frac{qN_t W}{2\tau} \left\{ \exp\left(-\frac{t}{\tau}\right) + \frac{\tau}{\tau - \tau^*} \left[\exp\left(-\frac{t}{\tau}\right) - \exp\left(-\frac{t}{\tau^*}\right) \right] \right\} = -\frac{qN_t W}{2\tau} \mathcal{F}(t). \quad (8)$$

В рассматриваемом изотермическом режиме в зависимости от температуры, очевидно, можно реализовать все типичные соотношения между τ и τ^* — $\tau^* \gg \tau$, $\tau^* \sim \tau$ и $\tau^* \ll \tau$.

Последовательно проанализируем с помощью (8) эти ситуации.

а) $\tau^* \gg \tau$; уравнение (8) принимает вид

$$j(t) \approx -\frac{qN_t W}{2} \left[\frac{\exp\left(-\frac{t}{\tau}\right)}{\tau} + \frac{\exp\left(-\frac{t}{\tau^*}\right)}{\tau^*} \right], \quad (9)$$

т. е. процесс релаксации тока носит экспоненциальный характер и описывается, как и обычно в таких случаях двумя постоянными времени: τ (начальная стадия) и τ^* (конечная стадия релаксации). По начальному участку кривой релаксации, представленному в масштабе $\ln j - t$, определяется τ , а по конечному — τ^* . Для нахождения E_t , E_t^* и σ_t , σ_t^* необходимо выполнять опыты при двух различных температурах.

б) $\tau^* \rightarrow \tau = \bar{\tau}$:

$$j(t) \approx -\frac{qN_t W}{2\bar{\tau}} \left(1 + \frac{t}{\bar{\tau}} \right) \exp\left(-\frac{t}{\bar{\tau}}\right). \quad (10)$$

Определение параметров ГУ в данной ситуации требует изменения условий эксперимента (например, температуры) с тем, чтобы перейти к ситуации а).

в) $\tau^* \ll \tau$;² легко убедиться, что в этом случае $j(t)$ имеет максимум при

$$t_m = \frac{\tau\tau^*}{\tau - \tau^*} \ln \left[\frac{\tau^2}{\tau^* (2\tau - \tau^*)} \right] \approx \tau^* \ln \left(\frac{\tau}{2\tau^*} \right), \quad (11)$$

обусловленный тем, что скорость эмиссии с ГУ второго электрона превышает скорость эмиссии первого ($\tau^* \ll \tau$). В силу этого во временном интервале

² Такая ситуация реальна, например, в случае кремния, содержащего двухзарядные ГУ серы [15], термодоноры [16] или так называемые U -центры [16–18].

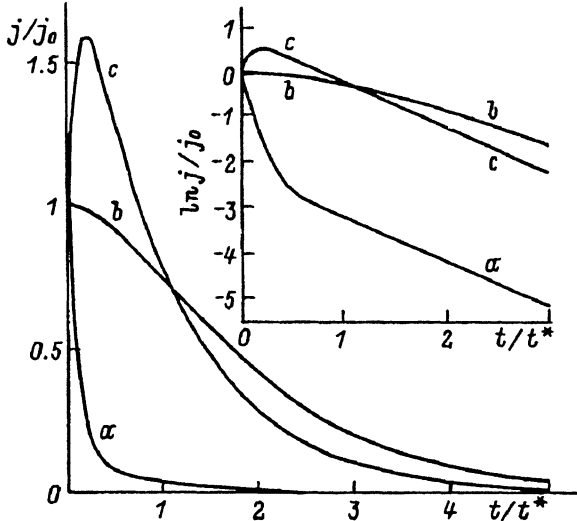


Рис. 2. Кинетика изотермической релаксации тока $j(t)$. $j_0 = \frac{qN_t W}{2\tau}$. $a - \tau^* = 10\tau$, $t^* = \tau$; $b - t^* = \tau$; $c - \tau = 10t^*$, $t^* = \tau$. На вставке — зависимость $j(t)$ в логарифмическом масштабе.

$0 < t \ll \tau^*$ заполнение нейтральных центров изменяется слабо, так что эмиссионный поток, отвечающий однократной ионизации ГУ, практически постоянен и пропорционален N_t/τ . С этим потоком суммируется поток эмиссии второго электрона, пропорциональный $n_t^+/\tau = \frac{N_t}{\tau} [1 - \exp(-t/\tau^*)]$; в результате $j(t) \propto \frac{N_t}{\tau} [2 - \exp(-t/\tau^*)]$ будет возрастать со временем. При $t > \tau$ заполнение нейтральных центров начинает резко уменьшаться и ток спадает по закону

$$j(t) \approx -\frac{qN_t W}{\tau} \exp\left(-\frac{t}{\tau}\right). \quad (12)$$

Как и в случае а), выражения (11) и (12) позволяют по кинетике тока $j(t)$ при двух различных температурах определить параметры ГУ — E_t , E_t^* , σ_t , σ_t^* .

Рис. 2 иллюстрирует кинетику тока $j(t)$ для всех трех случаев.

Рассмотрим теперь кинетику изотермического изменения высокочастотной емкости ОПЗ полупроводника $C_{HF} = \frac{qN_t}{4\pi W}$ МДП структуры в процессе релаксации. Очевидно, что $\delta C_{HF}/C_{HF} = -\delta W/W$. Рассуждая, как при выводе выражения (4), имеем $\delta W/W = \frac{1}{2N_d} (\delta n_t^+ + 2\delta n_t^0)$. Из (7) и условия $N_t/N_d \ll 1$ вытекает

$$C_{HF}(t) = C_\infty \left\{ 1 - \frac{N_t}{2N_d} \left[\exp\left(-\frac{t}{\tau}\right) + \frac{\tau^*}{\tau^* - \tau} \exp\left(-\frac{t}{\tau^*}\right) - \frac{\tau}{\tau^* - \tau} \exp\left(-\frac{t}{\tau}\right) \right] \right\}, \quad (13)$$

где C_∞ — высокочастотная емкость ОПЗ полупроводника, отвечающая равновесному заполнению двухзарядного ГУ при заданном V_g . Проще анализировать не величину $[C_{HF}(t_1) - C_{HF}(t_2)]/C_\infty$, как принято в классических вариантах DLTS [6, 7] [t_1 , t_2 — времена наблюдения, $(t_2 - t_1)$ — «временное окно»], а производную

$\frac{dC_{HF}}{dt} = \frac{N_t}{2N_d} \frac{C_\infty}{\tau} \mathcal{F}(t)$.³ В этом случае кинетика изотермической релаксации производной dC_{HF}/dt описывается той же функцией $\mathcal{F}(t)$, что и кинетика релаксации тока (см. рис. 2). Таким образом, идентификация и определение параметров двухзарядных ГУ по зависимостям от t производной dC_{HF}/dt формально сводятся к предыдущему случаю.

Обсудим далее проявления двухзарядных ГУ при термостимулированном разряде МДП конденсатора (ТРК). Решая систему уравнений (5), (7) при условии $T = T_0 + \beta t$ (T_0 — начальная температура опыта, β — скорость нагрева), находим

$$j(T) = -\frac{qW}{2} \left[\frac{n_t^0(T)}{\tau} + \frac{n_t^+(T)}{\tau^*} \right] = -\frac{q\beta E_t N_t W}{2kT_m^2} \mathcal{G}(\vartheta). \quad (14)$$

Здесь T_m — температура, определяемая трансцендентным уравнением

$$E_t/kT_m^2 = \frac{N_c v_T \sigma_t}{\beta} \exp(-E_t/kT_m), \quad (15)$$

$$\mathcal{G}(\vartheta) = f^0(\vartheta) \exp \left[\alpha \left(1 - \frac{1}{\vartheta} \right) \right] + f^+(\vartheta) \exp \left[p\alpha \left(1 - \frac{1}{\vartheta} \right) + \gamma \right],$$

$$\alpha = E_t/kT_m, \quad \vartheta = T/T_m, \quad p = E_t/E_t^*, \quad \gamma = \ln \left(\frac{\tau}{\tau^*} \right) \Big|_{T=T_m},$$

$$f^0(\vartheta) = n_t^0/N_t = \exp \left\{ -\alpha \int_{\vartheta_0}^{\vartheta} \exp \left[\alpha \left(1 - \frac{1}{\vartheta'} \right) \right] d\vartheta' \right\}, \quad f^+(\vartheta) = n_t^+/N_t =$$

$$= \alpha \int_{\vartheta_0}^{\vartheta} \mathcal{K}(\vartheta', \vartheta) f^0(\vartheta') \exp \left[\alpha \left(1 - \frac{1}{\vartheta'} \right) \right] d\vartheta' \quad [f^0(\vartheta) \text{ и } f^+(\vartheta) \text{ — решения 1-го}$$

и 2-го уравнений системы (7) соответственно],

$$\mathcal{K}(\vartheta', \vartheta) = \exp \left\{ -\alpha \int_{\vartheta'}^{\vartheta} \exp \left[p\alpha \left(1 - \frac{1}{\vartheta''} \right) + \gamma \right] d\vartheta'' \right\}, \quad \vartheta_0 = T_0/T_m.$$

Уравнение (15) описывает термостимулированное опустошение двухзарядного ГУ. Первое слагаемое в (15) характеризует процесс эмиссии первого электрона, соответствующий максимум тока локализован при $\vartheta = 1$, а полуширина пика $\sim 1/\alpha$ [1, 2]. Второе слагаемое — термостимулированный ток повторной ионизации ГУ, температурная зависимость которого определяет общий вид кривой $j(T)$. Для его выяснения необходимо проанализировать поведение функции $\mathcal{K}(\vartheta', \vartheta)$ в окрестности шириной $1/\alpha$ вблизи точки $\vartheta' = 1$, т. е. в области максимума первого слагаемого (15).

С этой целью найдем относительное изменение $\mathcal{K}(\vartheta', \vartheta)$ в окрестности этой точки. Имеем $1/\alpha |\partial/\partial\vartheta' [\ln \mathcal{K}(\vartheta', \vartheta)]|_{\vartheta'=1} = e'$. Таким образом, как и при изотермической релаксации, можно выделить три случая: $\gamma < -1$, $|\gamma| \leq 1$, $\gamma > 1$.

a) $\gamma < 1$. При этом $\mathcal{K}(\vartheta', \vartheta)$ изменяется с ϑ' более плавно, чем

³ Функцию dC_{HF}/dt легко найти дифференцированием измеренной зависимости $C_{HF}(t)$ [19].

$$f^0(\vartheta') \exp \left[\alpha \left(1 - \frac{1}{\vartheta'} \right) \right], \text{ т. е. } f^*(\vartheta) \approx \mathcal{K}(1, \vartheta) \int_{\vartheta_0}^{\vartheta} f^0(\vartheta') \exp \left[\alpha \left(1 - \frac{1}{\vartheta'} \right) \right] d\vartheta' = \\ = \mathcal{K}(1, \vartheta) \int_{\vartheta_0}^{\vartheta} \frac{df^0}{d\vartheta'} d\vartheta' = \mathcal{K}(1, \vartheta) [1 - f^0(\vartheta)]$$

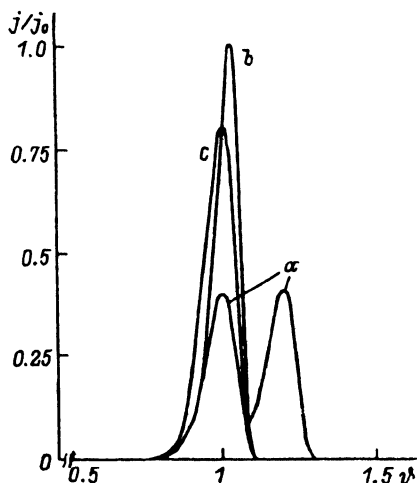
или

$$f^*(\vartheta) \exp \left[p\alpha \left(1 - \frac{1}{\vartheta} \right) + \gamma \right] \approx \mathcal{K}(1, \vartheta) \exp \left[p\alpha \left(1 - \frac{1}{\vartheta} \right) + \gamma \right] [1 - f^0(\vartheta)].$$

Легко убедиться, что функция $\mathcal{K}(1, \vartheta) \exp \left[p\alpha \left(1 - \frac{1}{\vartheta} \right) + \gamma \right]$ имеет максимум, положение ϑ_m которого определяется уравнением $p/\vartheta_m^2 = \exp \left[p\alpha \left(1 - \frac{1}{\vartheta_m} \right) + \gamma \right]$ с $v_m > 1$. Это означает, что при $\gamma < -1$ ток $j(T)$ описывает кривую с двумя максимумами (рис. 3, кривая *a*), эквивалентную известному случаю ТРК при наличии в системе двух локальных уровней с одинаковой плотностью и с резко различными временами жизни электрона, что обеспечивает наблюдение хорошо разрешаемых по температуре двух пиков тока с равной площадью [1, 2].

$$\text{б } |\gamma| \leq 1. \mathcal{K}(\vartheta', \vartheta) \text{ и } f^0(\vartheta') \exp \left[\alpha \left(1 - \frac{1}{\vartheta'} \right) \right]$$

Рис. 3. Кинетика релаксации тока $j(T)$ при термостимулированном опустошении двухзарядного ГУ. $j_0 = -q\beta E_t N_t W/2 kT_m^2$, $\vartheta = T/T_m$, $\alpha = 20$, $p = 1.5$. *a* — $\gamma = -5$; *b* — $\gamma = 0$; *c* — $\gamma = 5$.



изменяются с ϑ' приблизительно одинаково, так что аналитическое рассмотрение поведения функции $j(T)$ затруднительно. Численное решение системы (5), (7) показывает, что температурная зависимость тока в данном случае имеет вид изолированного пика, существенно отличающегося по форме от классического случая ТРК с характерным соотношением полуширин пика со стороны низких Δ_l и высоких Δ_r температур $\Delta_l/\Delta_r \approx 1.48$ [20]. В рассматриваемом случае это соотношение оказывается заметно меньше (рис. 3, кривая *b*). Этот результат можно рассматривать как практический критерий проявления двухзарядного центра. С целью определения параметров ГУ в данной ситуации необходимо применить стандартные методы термической «расчистки» или вариации скорости нагрева, чтобы свести задачу к случаю *a*).

в) $\gamma > 1$. При этом $\mathcal{K}(\vartheta')$, принимающая максимальное значение при $\vartheta' = \vartheta$, изменяется с ϑ' более резко, чем

$$f^0(\vartheta') \exp \left[\alpha \left(1 - \frac{1}{\vartheta'} \right) \right] \text{ и } f^*(\vartheta) \approx \alpha f^0(\vartheta) \exp \left[\alpha \left(1 - \frac{1}{\vartheta} \right) \right] \times \\ \times \int_{\vartheta_0}^{\vartheta} \mathcal{N}(\vartheta', \vartheta) d\vartheta' \approx f^0(\vartheta) \exp \left[\alpha \left(1 - \frac{1}{\vartheta} \right) \right] \exp \left[-\rho\alpha \left(1 - \frac{1}{\vartheta} \right) - \gamma \right],$$

т. е. $j(T) \approx -\frac{qW}{2}, 2 \frac{n_i^0(T)}{\tau}$. Следовательно, при $\gamma > 1$ ток $j(T)$ описывает кривую с максимумом (рис. 3, кривая с), аналогичную классическому случаю ТРК при термостимулированном опустошении моноэнергетического уровня с энергией ионизации E_i , сечением захвата σ_i и концентрацией $2N_i$ [1, 2]. Следовательно, при $\gamma > 1$ идентификация двухзарядного ГУ в режиме ТРК затруднительна и для ее проведения необходимо перейти к наблюдению изотермической релаксации тока или высокочастотной емкости в условиях, отвечающих кривой с на рис. 2.

Для режима термостимулированной релаксации высокочастотной емкости ОПЗ полупроводника нетрудно получить

$$C_{HF}(T) = C_{\infty} \left[1 - \frac{1}{2N_d} [2n_i^0(T) + n_i^+(T)] \right]. \quad (16)$$

Как и в случае изотермической релаксации проще анализировать температурную зависимость производной dC_{HF}/dT . Тогда $dC_{HF}/dT = \frac{C_{\infty} \beta E_i N_i}{2kT_m^2 N_d} \mathcal{G}(\vartheta)$, т. е. эта зависимость с точностью до постоянного множителя совпадает с зависимостью $j(T)$.

Таким образом, наиболее яркие особенности релаксационных сигналов, обусловленных опустошением двухзарядных ГУ, проявляются в режиме изотермической релаксации тока и высокочастотной форме емкости в нетривиальных кривых кинетики, содержащих экстремумы. Наблюдение подобных кривых следует считать надежным критерием присутствия в исследуемых структурах двухзарядных глубоких центров, параметры которых в большинстве рассмотренных случаев нетрудно определить на основе развитого аналитического аппарата.

Очевидно, что указанные особенности кинетических кривых могут проявляться в объектах, содержащих центры с отрицательной корреляционной энергией (U^- -центры и Pb-центры в Si [16, 21] и, вероятно, DX-центры в AlGaAs [22]) или отталкивающие центры, когда $(E_i^- - E_i) \sim 0.1$ эВ, а $\sigma_i^+/\sigma_i \leq 10^{-2}$.

СПИСОК ЛИТЕРАТУРЫ

- [1] А. Г. Ждан, В. Б. Сандомирский, А. Д. Ожередов. ФТП, 2, 11 (1968).
- [2] В. И. Антоненко, А. Г. Ждан, А. И. Минченко, П. С. Сульженко. ФТП, 20, 208 (1986).
- [3] В. И. Антоненко, А. Г. Ждан, П. С. Сульженко. ФТП, 22, 758 (1988).
- [4] В. Н. Вертопрахов, Е. Г. Сальман. Термостимулированные токи в неорганических веществах. Новосибирск. (1979).
- [5] R. Chen, Y. Kirsh. Analysis of thermally stimulated processes. Pergamon (1981).
- [6] D. V. Lang. J. Appl. Phys., 45, 3023 (1974).
- [7] N. M. Johnson. J. Vac. Sci. Techn., 2, 303 (1982).
- [8] В. Л. Бонч-Бруевич, С. Г. Калашников. Физика полупроводников. М. (1977).
- [9] С. Зи. Физика полупроводниковых приборов: В 2-х кн. Т. 1. М. (1984).
- [10] В. Д. Ткачев, Л. Ф. Макаренко, В. П. Маркевич, Л. И. Мушин. ФТП, 18, 526 (1984).
- [11] Е. М. Гершензон, А. П. Мельников, Р. И. Рабинович, И. А. Серебрякова. УФН, 132, 353 (1980).
- [12] Л. С. Берман, А. А. Лебедев. Емкостная спектроскопия глубоких центров в полупроводниках. Л. (1981).
- [13] Ж. Бургуэн, М. Ланно. Точечные дефекты в полупроводниках. Экспериментальные аспекты. М. (1985).

- [14] Н. А. Лушников, А. Г. Ждан. ФТП, 16, 793 (1982).
- [15] L. L. Rosier, C. T. Sah. Sol. St. Electron., 14, 41 (1971).
- [16] L. F. Makarenko, L. I. Murin. Phys. St. Sol. (b), 145, 241 (1988).
- [17] G. D. Watkins, J. R. Troxell. Phys. Rev. Lett., 44, 593 (1980).
- [18] R. D. Harris, J. L. Newton, G. D. Watkins. Phys. Rev. B, 36 (1987).
- [19] Е. И. Гольдман, А. Г. Ждан, А. М. Клочкова, Ю. В. Маркин. ФТП, 24, 159 (1990).
- [20] А. Г. Ждан, В. Б. Сандомирский, А. Д. Ожередов, Г. Н. Яковлева. ФТП, 3, 1755 (1969)
- [21] K. L. Brower. Semicond. Sci. Techn., 4, 970 (1989).
- [22] Труды тематической конференции. Semicond. Sci. Techn., 6, N 10B.

Редактор В. В. Чалдышев
